# 无约束非凸优化高阶张量算法研究

林玉婷, 李永杰, 杨健茹

广东工业大学数学与统计学院, 广东 广州

收稿日期: 2025年9月16日; 录用日期: 2025年10月9日; 发布日期: 2025年10月17日

## 摘要

无约束优化问题在工程、经济及计算机视觉等领域领域有广泛应用,其目标函数因系统复杂与环境不确定呈高度非凸特性,使传统算法在效率与精度上双重受限。针对三次连续可微且三阶导数全局Lipschitz连续的非凸优化问题,现有方法局限显著:一阶算法(如SGD)收敛慢、易陷鞍点,难以达全局优化;二阶方法(如牛顿法)受Hessian矩阵存储计算开销限制,精确求解要求也降低适用性;三次正则化等三阶方法虽用高阶信息,但计算成本高,部分场景难构建全局光滑三阶逼近。文章基于信赖域范式与不动点迭代,结合目标函数高阶导数信息,通过减少迭代复杂度优化子问题求解,衔接理论与实际并减弱参数敏感性,设计了新型无约束非凸优化算法SSFPI-HOA。由数值实验可知,SSFPI-HOA算法能提升非凸问题最优解质量与计算效率,为领域提供新理论技术支撑,助力深度学习等领域实际问题求解。

#### 关键词

无约束非凸优化,高阶优化算法,张量计算,不动点迭代

# Research on High-Order Tensor Algorithms for Unconstrained Non-Convex Optimization

Yuting Lin, Yongjie Li, Jianru Yang

School of Mathematics and Statistics, Guangdong University of Technology, Guangzhou Guangdong

Received: September 16, 2025; accepted: October 9, 2025; published: October 17, 2025

#### **Abstract**

Unconstrained optimization problems play an important role in fields such as engineering, economics, and computer vision. Their objective functions exhibit highly non-convex characteristics due to system complexity and environmental uncertainty, rendering traditional algorithms doubly constrained in terms of efficiency and accuracy. For non-convex optimization problems that are three times continuously differentiable with globally Lipschitz continuous third-order derivatives, exist-

文章引用: 林玉婷, 李永杰, 杨健茹. 无约束非凸优化高阶张量算法研究[J]. 应用数学进展, 2025, 14(10): 262-268. DOI: 10.12677/aam.2025.1410438

ing methods have significant limitations: first-order algorithms (e.g., SGD) converge slowly, are prone to getting trapped in saddle points, and hardly achieve global optimization; second-order methods (e.g., Newton's method) are restricted by the storage and computational costs of Hessian matrices, and the requirement for accurate solution further reduces their applicability; third-order methods such as cubic regularization, although utilizing high-order information, incur high computational costs and struggle to construct globally smooth third-order approximations of objective functions in some scenarios. Based on the trust region paradigm and fixed-point iteration, this study combines the high-order derivative information of objective functions and designs a novel unconstrained non-convex optimization algorithm (SSFPI-HOA) by reducing iteration complexity, optimizing subproblem solving, bridging theory and practice, and reducing parameter sensitivity. Numerical experiments show that the SSFPI-HOA algorithm can improve the quality of optimal solutions and computational efficiency for non-convex problems, providing new theoretical and technical support for the field and facilitating the solution of practical problems in areas such as deep learning.

#### **Keywords**

Unconstrained Non-Convex Optimization, High-Order Optimization Algorithm, Tensor Computation, Fixed-Point Iteration

Copyright © 2025 by author(s) and Hans Publishers Inc.

This work is licensed under the Creative Commons Attribution International License (CC BY 4.0).

http://creativecommons.org/licenses/by/4.0/



Open Access

## 1. 引言

无约束非凸优化问题广泛存在于科学工程优化控制、经济调度及计算机视觉图像恢复等领域。其目标函数多因系统复杂性与不确定性呈高度非凸特性,求解时面临效率与精度双重难题;尤其在深度学习中,多层神经网络的非线性非凸损失函数不仅使全局最优解难寻,局部最优解判断更属 NP 难问题,因此高阶优化方法至关重要。

当前大规模机器学习非凸问题的求解仍存瓶颈:一阶算法(如 SGD)虽计算廉价,但收敛缓慢(线性收敛),易陷局部极小点且不满足二阶最优性;二阶算法(如牛顿法、信赖域法)受限于 Hessian 矩阵存储 (O(n²))、正定要求及求逆和分解的高开销,难以适配大规模问题;三次正则化方法虽兼顾性能,却因计算代价高昂,不适合大规模数据处理。

本文基于信赖域范式与不动点迭代,提出新型高阶优化算法。通过优化子问题求解与随机采样策略,解决大规模高维非凸问题,提升计算精度与速度,且证明算法全局收敛性,可为深度学习等领域的实际应用提供支撑。

**符号:** 设 R 为实数空间,并且,  $\mathbb{R}^d$  表示 d 维实向量集合,  $\mathbb{R}^{n \times m}$  表示  $n \times m$  维实矩阵集合,  $\mathbb{R}^{n_1 \times n_2 \times \cdots \times n_p}$  为 p 阶 张 量集合。 在整个论文的写作中,使用小写粗体字母(如  $\mathbf{g} \in \mathbb{R}^n$ )表示向量,大写粗体字母(如  $\mathbf{H} \in \mathbb{R}^{n \times n}$ )表示矩阵,花体大写字母(如  $\mathbf{T} \in \mathbb{R}^{n_1 \times n_2 \times \cdots \times n_p}$ )表示高阶 张 量,下标字母(如  $\mathbf{g}_i$ ,  $\mathbf{H}_{i,j}$ ,  $\mathcal{T}_{j_1,j_2,\cdots,j_p}$ )可表示向量、矩阵、张量中的具体分量。

#### 2. 问题描述

考虑无约束非凸优化问题

$$\min_{\mathbf{x} \in \mathbb{R}^n} f\left(\mathbf{x}\right) \tag{2.1}$$

其中,  $f(x): R^n \to R$  三次连续可微且有下界,其三阶导数满足全局 Lipschitz 连续性: 存在常数  $L_p \ge 0$  ,对于任意  $x,y \in \mathbb{R}^n$  ,有

$$\left\| \nabla^{p} f(\mathbf{x}) - \nabla^{p} f(\mathbf{y}) \right\|_{[p]} \le L_{p} \|\mathbf{x} - \mathbf{y}\|$$
(2.2)

成立,其中 $\|\cdot\|_{\mathbb{R}^{1}}$ 为p阶张量的谱范数, $\nabla^{p} f(x)$ 是p阶导数张量,定义为:

$$\nabla^{p} f(\mathbf{x}) = \left[ \frac{\partial^{p} f(\mathbf{x})}{\partial x_{j_{1}} \partial x_{j_{2}} \cdots \partial x_{j_{p}}} \right]_{j \in [n]^{p}},$$

这里 $[n] = \{1, \dots, n\}$ ,  $j_1, \dots, j_n$ 为遍历 p 维索引。

多项式局部模型  $m(x_k,d)$  依赖  $f(x_k+d)$  在迭代点  $x_k \in \mathbb{R}^n$  处的三阶泰勒展开构建,形式为:

$$m(\boldsymbol{x}_{k},\boldsymbol{d}) := f(\boldsymbol{x}_{k}) + \nabla_{x} f(\boldsymbol{x}_{k})^{\mathrm{T}} \boldsymbol{d} + \frac{1}{2} \boldsymbol{d}^{\mathrm{T}} \nabla_{x}^{2} f(\boldsymbol{x}_{k}) \boldsymbol{d} + \frac{1}{6} \boldsymbol{d}^{\mathrm{T}} \nabla_{x}^{3} f(\boldsymbol{x}_{k}) [\boldsymbol{d}, \boldsymbol{d}]. \tag{2.3}$$

固定当前迭代点 $x_k$ ,第i次迭代中,模型 $m(x_k,d^{(i)})$ 可表示为:

$$m(\boldsymbol{x}_{k},\boldsymbol{d}^{(i)}) = f_{i}(\boldsymbol{x}_{k}) + \boldsymbol{g}_{i}(\boldsymbol{x}_{k})^{\mathrm{T}}\boldsymbol{d}^{(i)} + \frac{1}{2}\boldsymbol{H}_{i}(\boldsymbol{x}_{k})\left[\boldsymbol{d}^{(i)}\right]^{2} + \frac{1}{6}\boldsymbol{T}_{i}(\boldsymbol{x}_{k})\left[\boldsymbol{d}^{(i)}\right]^{3}$$

其中, $f_i(\boldsymbol{x}_k) \in \mathbb{R}$  表示当前迭代点处的函数值, $\boldsymbol{g}_i(\boldsymbol{x}_k)^{\mathsf{T}} = \nabla_x f(\boldsymbol{x}_k) \in \mathbb{R}^n$  表示梯度向量, $\boldsymbol{H}_i(\boldsymbol{x}_k) = \nabla_x^2 f(\boldsymbol{x}_k) \in \mathbb{R}^{n \times n}$  表示 Hessian 矩阵,且  $\mathcal{T}_i(\boldsymbol{x}_k) = \nabla_x^3 f(\boldsymbol{x}_k) \in \mathbb{R}^{n \times n \times n}$  表示三阶导数张量。

# 3. 算法设计

Cartis 等人[1] [2]指出,无约束非凸优化算法逼近局部极小值的核心步骤为:

- (1) 求解局部模型: 第i 次迭代计算搜索方向 $d_k \approx \arg\min_{\mathbf{x} \in \mathbb{R}^n} m(\mathbf{x}_k, \mathbf{d}^{(i)})$ ;
- (2) 更新迭代点:  $x_{k+1} = x_k + d_k$ , 逐步降低目标函数值;
- (3) 终止条件: 函数值变化量小于阈值 $\epsilon$ , 或梯度范数 $\|\nabla f(x_{k+1})\| < \epsilon$ 时,输出近似局部极小值。

子问题求解效率直接影响算法整体性能。在最小化局部模型时, $d_k$  要满足一阶最优性条件(2.4)和二阶最优性条件(2.5):

$$\mathbf{g}_{i}(\mathbf{x}_{k}) + \mathbf{H}_{i}(\mathbf{x}_{k})\mathbf{d}_{k} + \frac{1}{2}\mathcal{T}_{i}(\mathbf{x}_{k})[\mathbf{d}_{k}]^{2} = 0, \tag{2.4}$$

$$\boldsymbol{H}_{i}(\boldsymbol{x}_{k}) + \mathcal{T}_{i}(\boldsymbol{x}_{k})[\boldsymbol{d}_{k}] \ge 0. \tag{2.5}$$

子问题算法设计的目标是通过求解关于  $d_k$  的二次方程(2.4)找到序列  $\left\{d^{(i)}\right\}_{i\geq 0}$  ,使其收敛至满足  $\|g_i\| \leq \epsilon_1$  与  $\lambda_{\min}[H_i] \geq -\epsilon_2$  ,其中  $\lambda_{\min}[H_i]$  表示对称矩阵  $H_i$  的最小特征值, $(\epsilon_1, \epsilon_2)$  分别是一阶最优性条件和二阶最优性条件所允许的误差。

为应对高维计算与实现高效收敛,文章采用随机采样技术,通过高斯分布随机选取采样指标集*C*,将高维向量、矩阵、张量降维采样,显著压缩计算规模,使子问题求解在内存与时间成本上更可行。接着,采用不动点迭代算法思想将一阶最优性条件变形为不动点迭代函数

$$\boldsymbol{d}_{i+1} = -\left(\boldsymbol{H}_i(\boldsymbol{x}_k) + \frac{1}{2}T_i(\boldsymbol{x}_k)\boldsymbol{d}_i\right)^{-1}\boldsymbol{g}_i(\boldsymbol{x}_k)$$
(2.6)

以逐步逼近的方式,重复更新采样指标集对应的步长,直至  $\left\| m{d}_{i+1}^C - m{d}^C \right\| < \epsilon$  。

#### 算法 1 随机采样不动点迭代法算法(SSFPI)

**输入:** 目标采样数m, 下标总数n, 当前外层迭代点 $x_k$ , 初始内层搜索方向 $d_k^{(0)}$ , 内层最大迭代次

#### 数T, 内层收敛阈值 $\epsilon_{inner}$

**输出:** 外层迭代 k 的最终搜索方向  $d_{k+1}$ 

- 1) 采样指标集 $C \leftarrow M[n]$ 中随机抽取m个不同下标;
- 2)  $d_k^{(0),C}, g_k^C, H_k^C, T_k^C \leftarrow 根据 C 对 d_k^{(0)}, g_k, H_k, T_k 采样;$
- 3) 初始化内层迭代计数器 t=0, 当前采样方向  $\mathbf{d}^{C} \leftarrow \mathbf{d}_{L}^{(0),C}$ ;
- 4) while t < T do

5) 
$$M_{t}^{C} \leftarrow H_{k}^{C} + \frac{1}{2} T_{k}^{C} \left[ \boldsymbol{d}^{C} \right];$$

- 6) if  $M_t^c$  是不正定的 then
- 7)  $M_t^{C,+} \leftarrow \text{计算 } M_t^C \text{ 的摩尔-彭罗斯伪逆};$
- 8) else
- 9)  $M_{t}^{C,-1} \leftarrow$  计算 $M_{t}^{C}$  的逆矩阵;
- 10) end if
- 11) 更新采样方向:  $d_k^{(t+1),C} = -M_t^{C,+/-1} g_k^C$ ;

12) if 
$$\left\| \boldsymbol{d}_{k}^{(t+1),C} - \boldsymbol{d}^{C} \right\| < \epsilon_{inner}$$
 then

- 13) 终止内层迭代,令 $d_k^C = d_k^{(t+1),C}$
- 14) else
- 15) 跳转至步骤 11
- 16) end if
- 17) 更新 t = t + 1
- 18)  $\boldsymbol{d}^{C} \leftarrow \boldsymbol{d}_{L}^{(t+1),C}$
- 19) end while
- 20) 重构全量方向 $d_{\iota}$  (非采样分量按0填充,或通过插值补全)
- 21) return  $d_k$

子问题求解算法 SSFPI 中,矩阵  $M_t^c$  非正定时会出现求逆困难且不稳定情况。传统的 Tikhonov 正则 化会引入偏差、需调参。摩尔 – 彭罗斯伪逆借矩阵自身 SVD 计算,无偏、稳定、无需调参,能避免迭代中断、加速收敛,还降低额外计算成本。结合三次正则化算法框架和信赖域算法,可进一步得到高阶优化算法 SSFPI-HOA.

# 算法 2 高阶优化算法(SSFPI-HOA)

**输入:** 目标函数 f 及其三阶连续导数  $g(x_k)$ ,  $H(x_k)$ ,  $\mathcal{T}(x_k)$ , 初始外层迭代点  $x_0$ , 外层收敛阈值  $\epsilon_1$ ,  $\epsilon_2$ , 接受阈值  $0 < \eta < 1$ 

**输出:** 局部最优解  $x^*$ , 外层迭代步数 k

**初始化:** 设定初始  $\mathbf{x}_0 = 1 \in \mathbb{R}^n$ , 迭代计数器 k = 0, 容差  $\epsilon_1, \epsilon_2 > 0$ ,  $\eta = 0.1$ 

1) while True do

- 2) if  $\|\mathbf{g}(\mathbf{x}_k)\| \le \epsilon_1 \perp \lambda_{\min} [\mathbf{H}(\mathbf{x}_k)] \ge -\epsilon_2$  then
- $\mathbf{x}^* = \mathbf{x}_{\iota}, K = k \; ;$
- 4) return  $x^*, K$ :
- 5) end if
- 6) 根据算法 1 (SSFPI)更新步长  $d_{k}$ ;
- 7) 根据(2.3)计算 $m(\mathbf{x}_k, \mathbf{d}_k)$

8) 计算 
$$\rho_k = \frac{f(\mathbf{x}_k) - f(\mathbf{x}_k + \mathbf{d}_k)}{f(\mathbf{x}_k) - m(\mathbf{x}_k, \mathbf{d}_k)}$$

9) if 
$$\rho_k > \eta \not \exists f(\mathbf{x}_k + \mathbf{d}_k) < f(\mathbf{x}_k)$$
 then

$$x_{k+1} = x_k + d_k$$

- 11) else
- $\mathbf{11}) \qquad \mathbf{x}_{k+1} \coloneqq \mathbf{x}_k$
- 12) goto Step 6
- 13) end if
- 14) k := k + 1
- 15) end while

#### 4. 数值实验

#### 4.1. 具体的非凸问题求解

为探究非凸优化求解特性,选取两类典型非凸函数:  $y=2x^3-2x^2$  (函数 A)、 $y=x^4-x^2$  (函数 B)。 由图 1 可知,在一维情形下,这两个函数的鞍点均为x=0。

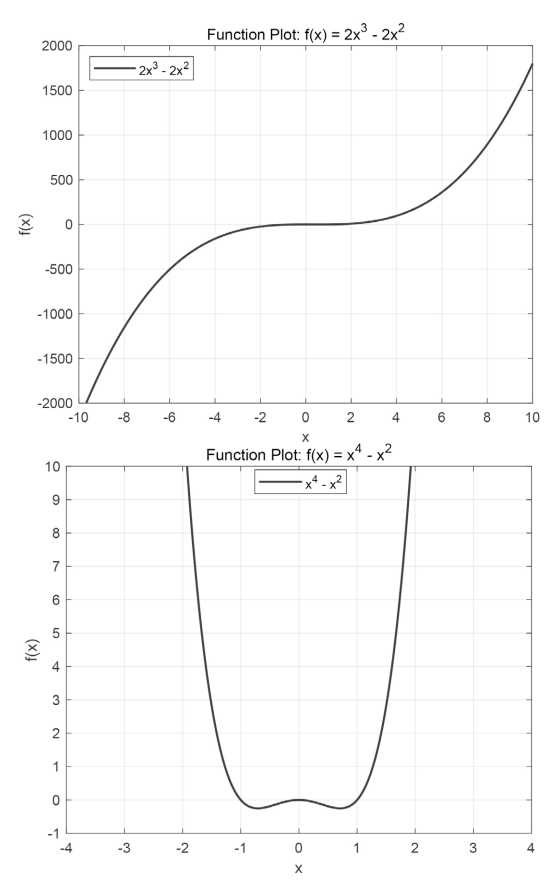


Figure 1. Function plots of Function A and Function B in the case of one dimension 图 1. 函数 A 和函数 B 在一维的情况下的函数图像

在后续的实验过程中,围绕问题 A 和问题 B,进行了如下细致的设置:维度 n (模拟不同规模问题,

探规模对算法性能的影响)、采样规模 m (调采样量,探其对收敛的影响); x 初始为全 1 向量,步长随机 初始化以避偏差,最大迭代 35 (实际均提前收敛,体现算法效率)。

函数类型	维度 n	采样数 m	迭代次数	运行时间	收敛值
函数 A	10	2	13	3.25	-0.5926
	10	5	14	1.14	-1.4815
	20	2	13	8.35	-0.5926
	20	5	13	8.49	-1.4815
	20	10	14	8.20	-2.9630
函数B	10	2	29	0.81	-0.4938
	10	5	30	0.89	-1.2346
	20	2	29	8.24	-0.4938
	20	5	30	8.60	-1.2346
	20	10	31	8.90	-2.4691

**Table 1.** Analysis of results of the SSFPI algorithm under different dimensions and sampling sizes 表 1. SSFPI 算法不同维度 *n* 与采样规模 *m* 的结果分析

对表 1 中的数据进行深入分析,可以得出如下结论:对于所选取的两类非凸函数,随着采样规模 m 的不断增大,算法的收敛精度均呈现出明显的提升趋势,计算结果也更为理想。然而,与此同时,计算时间也会相应地有所增长,这体现出算法在收敛精度与计算效率之间存在一定的权衡关系,也为后续进一步优化算法以更好地平衡这两者提供了方向。

#### 4.2. 非凸逻辑回归问题的数值实验

为验证 SSFPI-HOA 算法在非凸逻辑回归问题中的性能表现,选取如下非凸逻辑回归模型展开研究:

$$\min_{\mathbf{w} \in \mathbb{R}^d} \frac{1}{2} \sum_{i=1}^n \left( \frac{1}{1 + e^{-\mathbf{w}^T x_i}} - y_i \right)^2 + \frac{\alpha}{2} \| \mathbf{w} \|^2$$
 (4-1)

其中, $\{(x_i, y_i)\}_{i=1}^n$  为样本集, $y_i \in \{0,1\}$  是样本标签, $\frac{1}{1 + e^{-w^T x_i}}$  为非凸逻辑函数,正则化参数  $\alpha = 10^{-5}$  。问

题(4-1)的损失函数 sigmoid 类别(文献[3] [4]同类型),根据文献[5]可为其设计 sigmoidal programming 模型,验证模型合理性。

实验数据采用来自 LIBSVM (可通过 <a href="https://www.csie.ntu.edu.tw/~cjlin/libsvmtools/datasets/binary.html">https://www.csie.ntu.edu.tw/~cjlin/libsvmtools/datasets/binary.html</a>
获取)的 a1a 数据集,该数据集样本数量为 1605,数据维度为 119。将 SSFPI-HOA 与一阶增量梯度算法 SAGA、随机梯度下降 SGD 三种算法在 a1a 数据集上求解问题(4-1),通过对比损失值(Loss)下降趋势、梯度范数(Norm Grad)稳定性以及单次迭代耗时(Time),来分析各算法的性能差异。

从图 2 中可以看出,SSFPI-HOA 算法的损失值下降最为显著且稳定,在迭代过程中能快速且持续地降低损失; SAGA 算法损失值下降相对平缓; SGD 算法损失值下降幅度和速度均弱于前两者。这表明 SSFPI-HOA 在优化非凸逻辑回归损失函数时,具有更强的目标函数优化能力。并且,SSFPI-HOA 算法的梯度范数整体波动较小,保持着较好的稳定性; SAGA 算法梯度范数波动较大; SGD 算法梯度范数虽有下降趋势,但波动情况也较为明显。梯度范数的稳定意味着算法在迭代过程中能更平稳地向最优解靠近,减少震荡带来的无效迭代。但是,SSFPI-HOA 算法的单次迭代耗时明显低于 SAGA 和 SGD 算法,且随着迭代轮次增加,耗时稳定在较低水平。这体现出 SSFPI-HOA 在计算效率上的优势,能以更少的时间成本完成迭代优化。

综合来看,在非凸逻辑回归问题中,SSFPI-HOA 算法在损失函数优化效果、梯度稳定性以及计算效率方面,均展现出优于 SAGA 和 SGD 算法的性能,尤其适合处理此类非凸优化任务。

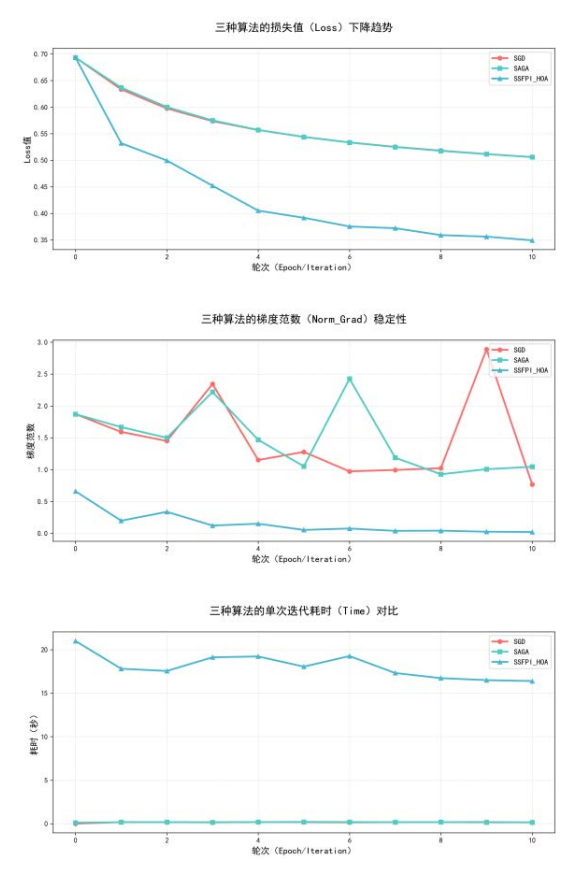


Figure 2. Comparison of results of different algorithms on the ala dataset 图 2. 数据集 ala 中不同算法的结果对比

# 基金项目

国家自然科学基金项目(12326302)。

# 参考文献

- [1] Cartis, C., Gould, N.I.M. and Toint, P.L. (2011) Adaptive Cubic Regularisation Methods for Unconstrained Optimization. Part I: Motivation, Convergence and Numerical Results. *Mathematical Programming*, 127, 245-295. https://doi.org/10.1007/s10107-009-0286-5
- [2] Cartis, C., Gould, N.I.M. and Toint, P.L. (2011) Adaptive Cubic Regularisation Methods for Unconstrained Optimization. Part II: Worst-Case Function- and Derivative-Evaluation Complexity. *Mathematical Programming*, 130, 295-319. https://doi.org/10.1007/s10107-009-0337-y
- [3] Ghadimi, S., Lan, G. and Zhang, H. (2019) Generalized Uniformly Optimal Methods for Nonlinear Programming. *Journal of Scientific Computing*, 79, 1854-1881. <a href="https://doi.org/10.1007/s10915-019-00915-4">https://doi.org/10.1007/s10915-019-00915-4</a>
- [4] Mason, L., Baxter, J., Bartlett, P., et al. (1999) Boosting Algorithms as Gradient Descent. Neural Information Processing Systems. <a href="https://api.semanticscholar.org/CorpusID:6101385">https://api.semanticscholar.org/CorpusID:6101385</a>
- [5] Udell, M. and Boyd, S.P. (2013) Maximizing a Sum of Sigmoids. <a href="https://api.semanticscholar.org/CorpusID:18061910">https://api.semanticscholar.org/CorpusID:18061910</a>